

# POVRCHOVÁ MODIFIKÁCIA SÚBOROV MIKROELEKTRÓD S INTERAGUJÚCIMI DIFÚZNYMI VRSTVAMI

PETER TOMČÍK<sup>a</sup>, DUŠAN BUSTIN<sup>a</sup>  
a IVAN NOVOTNÝ<sup>b</sup>

<sup>a</sup>Katedra analytickej chémie, Chemickotechnologická fakulta, Slovenská technická univerzita, Radlinského 9, 812 37 Bratislava, e-mail: tomcik@cvt.stuba.sk, <sup>b</sup>Katedra mikroelektroniky, Elektrotechnická fakulta, Slovenská technická univerzita, Ilkovičova 3, 812 19 Bratislava, Slovenská republika

Došlo dňa 13.VII.2000

**Kľúčové slová:** interdigitovaný súbor mikroelektród, chemická modifikácia, konduktometria, biosenzor

## Obsah

1. Úvod
2. Chemická modifikácia IDA mikroelektród
  - 2.1. Konduktometrické senzory
  - 2.2. Konduktometrické enzymové biosenzory
  - 2.3. Meranie elektrónového difúzneho koeficientu chemických modifikátorov
3. Záver

## 1. Úvod

Efekty vyplývajúce s prekryvom difúznych vrstiev<sup>1</sup> pri interdigitovaných súboroch (IDA) mikroelektród možno využiť v elektroanalytickej chémii na stanovenie elektrochemicky reverzibilných látok voltampérometricky<sup>2</sup>, alebo elektroinaktivitných látok titráciou v difúznej vrstve podobne ako pri rotačnej diskovej elektróde s prstencom<sup>3</sup>.

Zistilo sa, že IDA mikroelektródy sa dajú modifikovať rozličnými polymérnymi filmami. Vodivosť týchto filmov závisí od prítomnosti určitých látok v roztoku. Na takomto princípe pracuje množstvo konduktometrických senzorov na báze tuhých polymérnych filmov.

Ďalším významným pozitívom chemickej modifikácie IDA mikroelektród je schopnosť imobilizácie enzymov, alebo receptorových bielkovín priamo do polymérneho filmu, alebo do membrány. Produkty enzymovej reakcie sú obvykle nabité častice a spôsobujú nárast vodivosti roztoku.

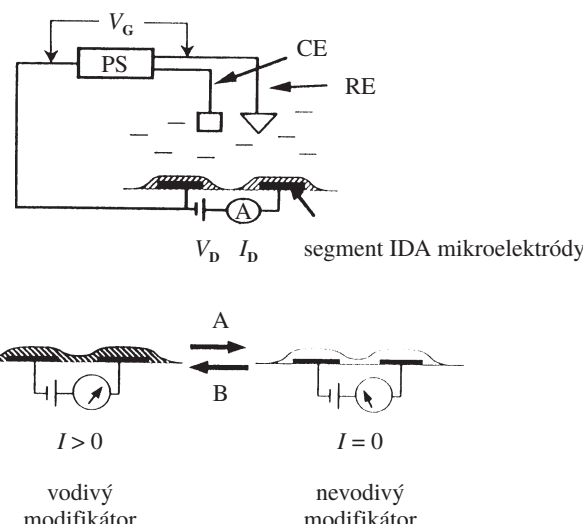
Toto bezosporu otvára nové možnosti analytického uplatnenia IDA mikroelektród, najmä pri bioelektrochemických aplikáciach. Pri nedeštruktívnosti týchto metód spolu s vysokou citlivosťou a selektivitou zabezpečenou modifikátorom môžu byť IDA mikroelektródy vhodným nástrojom pri monitore látok, ktoré zohrávajú dôležitú úlohu v biochemických procesoch.

## 2. Chemická modifikácia IDA mikroelektród

### 2.1. Konduktometrické senzory

Ukázalo sa, že mikrovrstvové a IDA mikroelektródy<sup>4–9</sup> sa dajú pokrýť rôznymi vodivými filmami napr. polypyrolom<sup>10,11</sup>, polyvinylferocénom<sup>12</sup>, polyanilínom<sup>13</sup> a poly(3-metylftiofénom)<sup>14</sup>. Z anorganických látok sa ako chemický modifikátor povrchu IDA mikroelektród uplatnili nerozpustné komplexy železa<sup>15–19</sup>. Najčastejším zástupcom tejto skupiny látok je Berlínska modrá<sup>20,21</sup>.

Takto chemicky modifikované IDA mikroelektródy<sup>22–28</sup> sa správajú ako chemirezistory, ktoré sú citlivé na prítomnosť určitých látok v roztoku. Princíp takého chemirezistora opisuje obr. 1. Stanovovaná látka ovplyvňuje vodivosť polyméru ukotveného na mikroelektróde a v závislosti od jej koncentrácie sa mení ohmický prúd  $I_D$ , pretekajúci medzi dvomi nezávisle polarizovateľnými segmentami IDA mikroelektródy spojenými polymérom (medzi ne sa vkladá malé napätie  $V_D$ ). Vodivosť polyméru veľmi ovplyvňujú redox látky. Ako príklad môže slúžiť redoxný prepínač na báze polyanilínu, ktorého vodivosť stúpa s pridavkom 10 mM  $[Fe(CN)_6]^{3-}$  (prepínač sa „zapne“) a po pridavku  $S_2O_4^{2-}$  rovnakej koncentrácie vodivosť klesne prakticky na nulu (prepínač sa „vypne“)<sup>27</sup>. O tom či daný prepínač bude fungovať, závisí od polyméru a interakcií, ktoré medzi ním a látou nastávajú. Ak je polymérom polypyrol, redoxný prepínač sa aktivizuje nielen  $[Fe(CN)_6]^{3-}$ , ale aj kyselinou antrachinón-2-sulfónovou. Pri zmene modifikátoru za kopolymér pyrol-N-metylpyrol prepínač nereaguje na kyselinu antrachinón-2-sulfónovú.



Obr. 1. Princíp konduktometrického senzora s IDA mikroelektródou<sup>29,30,41,43</sup>: PS – potenciostat, CE – pomocná elektróda, RE – referenčná elektróda,  $V_G$  – vstupné napätie,  $V_D$  – napätie medzi dvomi IDA segmentami skratovanými modifikátorom,  $I_D$  – prúd medzi dvomi IDA segmentami (výstupný prúd), A – látka, ktorá znižuje vodivosť povrchového filmu resp. B ju zvyšuje

IDA mikroelektródy s elektromobilizovaným filmom Berlínskej modrej možno využiť na stanovenie alkalických kovov<sup>29</sup>. Z posunu konduktometrických charakteristík ( $I_D$  vs.  $V_G$ ) možno zistiť, že ovplyvňovanie vodivosti závisí od konkrétneho alkalického kovu. Zistila sa selektivita v poradí Cs>Rb>K>Na>Li. Pre tieto elektródy sa získal bez optimalizácie podmienok detekčný limit okolo  $10^{-4}$  mol·dm<sup>-3</sup>.

Na podobnom princípe pracujú aj senzory na meranie vlhkosti<sup>30,31</sup> a na toxické plyny<sup>32</sup> ako sú NO<sub>2</sub> a SO<sub>2</sub>. V pripade NO<sub>2</sub> sa využíva interakcia analytu s filmom ftalocyanínu medenatého a detekčný limit je na úrovni ppb<sup>33</sup>. Niektoré špeciálne konduktometrické aplikácie IDA mikroelektród sú zamerané na meranie dielektrických vlastností termosetových polymérov<sup>34</sup> a na priame monitorovanie kvality motorového oleja<sup>35</sup>. Senzory s filmami polymerizovanými plazmou sa využili na stanovenie podielov H<sub>2</sub>O v oleji<sup>36,37</sup>.

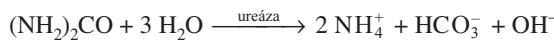
## 2.2. Konduktometrické enzýmové biosenzory

Elekropolymerizácia pyrolu je veľmi výhodná pri enzymových konduktometrických biosenzoroch<sup>38–40</sup>. Ak je v roztoku prítomný enzým, zabudováva sa do štruktúry polypyrolovočného filmu a tak dochádza k jeho imobilizácii. Nanášanie polypyrolovočného filmu sa prevádzka zväčša pomocou bipotenciostatu anodickou polarizačiou segmentov IDA mikroelektródy (650 resp. 670 mV vs. SCE z roztoku, ktorý obsahuje 0,1 M pyrol a 0,1 M KNO<sub>3</sub>). Hrubka filmu narastá až napokon dôjde k skratovaniu oboch segmentov. Okamih skratovania sa prejaví tak, že oba segmenty vykazujú číselne rovnaký prúd, avšak polarita je opačná. Skratovanie segmentov možno presne určiť s chronoampérogramu potenciostatickej polymerizácie. Aby mal polypyrolový film elektrochemicky nanesený na IDA mikroelektróde hladký povrch a pravidelnú štruktúru, je dôležité, aby sa nanášal na hydrofóbny povrch. Hydrofóbnosť povrchu sa dosiahne silanizáciou roztokom 20 mM oktadecyltriethoxysilánom v benzéne<sup>28</sup>.

Reverzibilná deprotonizácia väzby N-H v polypyrole je príčinou, že vodivosť polypyrolu závisí od pH roztoku<sup>41</sup>. Pri znižení pH roztoku na hodnotu 3 vodivosť polypyrolu stúpne asi 100 krát v porovnaní s vodivostou pri pH 11. Polypyrolové filmy sa teda môžu správať ako pH senzitívne mediátory enzymových biosenzorov<sup>42</sup>.

Ako príklad môže slúžiť biosenzor na penicilín<sup>43</sup>, ktorý po- zostáva s IDA mikroelektródy pokrytej polypyrolom a membránou s penicilinázy. Penicilináza katalyzuje hydrolízu penicilínu na kyselinu penicilínovú, čo sa prejaví zmenou vodivosti polypyrolu.

Vyvinulo sa množstvo enzymových biosenzorov, ktoré vykazujú odozvu na zvýšenie vodivosti roztoku produktami enzymových reakcií<sup>44–49</sup>, tak ako v prípade biosenzora na stanovenie močoviny<sup>50</sup>, ktorá sa enzymom ureázou inkorporovanou do gélovej membrány rozkladá podľa rovnice:



Výsledkom rozkladu sú nabité časticie, čo sa prejaví veľkým nárastom vodivosti<sup>51</sup>.

Kalibrácia (nájdenie vzťahu medzi vodivosťou a koncentráciou stanovovanej látky) konduktometrických senzorov na

báze planárnych IDA mikroelektród je zväčša empirická, ale pribúdajú aj teoretické štúdie<sup>52–55</sup>.

## 2.3. Meranie elektrónového difúzneho koeficientu chemických modifikátorov

Je dôležité poznať aké bude mať vlastnosti film ukotvený na IDA mikroelektróde. Elektroaktívne materiály môžu byť charakterizované jednosmernou elektrónovou konduktivitou  $s_e$  (S·cm<sup>-1</sup>), alebo elektrónovým difúznym koeficientom<sup>56</sup>  $D_e$  (cm<sup>2</sup>·s<sup>-1</sup>). Určenie týchto veličín nie je jednoduché vzhľadom na geometriu IDA mikroelektródy<sup>57–63</sup>.

Bol publikovaný teoretický model, pomocou ktorého sa dajú vypočítať dané veličiny zo znalosti limitného prúdu medzi dvoma paralelnými platňami, oddelenými od seba vzdialenosťou  $d$  a z hrúbky polyméru  $t$ . Tento model umožňuje vypočítať  $D_e$  bez merania plochy mikroelektródy a koncentrácie elektroaktívneho materiálu<sup>64</sup>.

Pre každú dvojsegmentovú časť IDA systému s deponovaným filmom platí rovnica pre limitný prúd elektrónov<sup>4</sup>:

$$(I_L)_{\text{segm}} = zFlD_e c_s / d \quad (1)$$

kde  $(I_L)_{\text{segm}}$  – limitný difúzny prúd elektrónov na každom „dvojpriestrovom“ segmente IDA,  $z$  – nábojové číslo elektródevej reakcie,  $F$  – Faradayova konštanta,  $l$  – dĺžka dvoch „segmentov“, medzi ktorými je imobilizovaný vodivý polymer s hrúbkou  $t$ ,  $c_s$  – koncentrácia látky v roztoku, z ktorej bude vytvorený film,  $d$  – šírka medzery medzi dvomi segmentami.  $D_e$  je difúzny elektrónový koeficient, ktorý sa vypočíta podľa vzťahu:

$$D_e = \frac{I_L dp}{Q} \frac{N}{N-1} \quad (2)$$

kde  $N$  je počet segmentov IDA mikroelektródy,  $p$  je vzdialenosť ich stredov,  $I_L$  je celkový elektrónový limitný prúd a  $Q$  je celkový náboj.

Pomer  $N/(N-1)$  je korekčný faktor, ktorý zohľadňuje fakt, že najvzdialenejšie segmenty sa nezúčastňujú elektrónovej kondukcie. Jeho hodnota je významná len pri IDA mikroelektródoch s malým počtom segmentov.

Z toho<sup>65</sup> pre hrúbku filmu deponovanom na IDA mikroelektróde platí:

$$t = Q/(zFC_s l p N) \quad (3)$$

Rovnica (3) je jednoduchá, pre veľký počet segmentov je korekčný faktor rovný jednotke. Veľký počet segmentov zvyšuje hodnoty  $I_L$  a  $Q$ , čo uľahčuje meranie. Dĺžka segmentov  $l$  tam nie je zastúpená, rovnako ako koncentrácia látky a hrúbka filmu, čo je výhodné pri meraní<sup>66–68</sup>  $D_e$ .

Hodnota  $D_e$  Berlínskej modrej stanovená chronoampérometricky, je  $5 \cdot 10^{-9}$  resp.  $2,7 \cdot 10^{-9}$  cm<sup>2</sup>·s<sup>-1</sup> pre redukciu resp. oxidáciu a je v dobrej zhode s literatúrou<sup>69</sup>. Zistila sa však, rozdielnosť  $D_e$  v duálnom móde oproti jednoduchému, čo sa zdôvodňuje interakciami „film 1–film 2“ a nekvivalentnosťou povrchu oboch filmov<sup>4</sup>.

#### 4. Záver

Ďalšie zlepšenie vlastností IDA mikroelektród možno dosiahnuť modifikáciou ich povrchu polymérnymi filmami. Pokrytie sa najčastejšie realizuje elektrochemicky a to za potenciostatických podmienok. IDA mikroelektródy pokryté Berlinskou modrou možno považovať za selektívne chemirezistory, ktorých vodivosť závisí od koncentrácie alkalického kovu v roztoku. IDA mikroelektródy pokryté polypyrolom detegujú zmeny pH roztoku a tak môžu byť efektívne pri stanovení látok, ktoré chemickou reakciou poskytujú kyslé alebo zásadité produkty. Interakcia stanovovanej látky s filmom na mikroelektróde je pomerne špecifická, čo je významné pri jej stanovení v zložitej vzorke. Možnosť imobilizácie enzymov priamo do filmu, alebo do membrány značne rozširuje použitie IDA systémov na konduktometrické a voltampérometrické stanovenia látok s rôznymi oblastami analytickej chémie.

Táto práca bola podporená Grantovou agentúrou Slovenskej republiky, VEGA (Grant č. 1/6103/99).

#### LITERATÚRA

- Tomčík P., Jursa S., Bustin D., Tvarožek V.: Chem. Listy 92, 626 (1998).
- Tomčík P., Bustin D., Tvarožek V.: Chem. Listy 93, 678 (1999).
- Tomčík P., Bustin D., Novotný I.: Chem. Listy 95, 18 (2001).
- Chidsey C. E., Feldman B. J., Lungren C., Murray R. W.: Anal. Chem. 58, 601 (1986).
- Chidsey C. E., Murray R. W.: Science 231, 25 (1986).
- Feldman B. J., Murray R. W.: Science 231, 103 (1986).
- Niwa O., Morita M., Tabei H.: J. Electroanal. Chem. 267, 269 (1988).
- Barger W. R., Wohltjen H., Snow A. W.: Proc. Int. Conf. on Sensors and Actuators-Transducers. Philadelphia 1985.
- Wohltjen H., Barger W., Snow A., Jarris N. L.: IEEE Trans. Electron Devices ED-32, 7 (1985); Chem. Abstr. 103, 114190 (1985).
- White H. S., Kittlesen G. P., Wrighton M. S.: J. Am. Chem. Soc. 106, 5375 (1984).
- Kittlesen G. P., White H. S., Wrighton M. S.: J. Am. Chem. Soc. 106, 7389 (1984).
- Kittlesen G. P., White H. S., Wrighton M. S.: J. Am. Chem. Soc. 107, 7373 (1985).
- Paul E. W., Ricco A. J., Wrighton M. S.: J. Phys. Chem. 89, 1441 (1985).
- Thackeray J. W., White H. S., Wrighton M. S.: J. Phys. Chem. 89, 5133 (1985).
- Itaya K., Ataka T., Toshima S.: J. Am. Chem. Soc. 104, 4767 (1982).
- Ross P. H., Jr: J. Electrochem. Soc. 126, 67 (1979).
- Bocarsly A. B., Sinha S.: J. Electroanal. Chem. 137, 157 (1982).
- Crumbliss A. L., Lugg P. G., Morosoff N.: Inorg. Chem. 24, 3044 (1985).
- Schneemeyer L. F., Spengler S. E., Murphy D. W.: Inorg. Chem. 24, 3044 (1985).
- Neff V. D.: J. Electrochem. Soc. 125, 886 (1978).
- Busev H. J., Schwartzenbach D., Petter W., Ludi A.: Inorg. Chem. 16, 2704 (1977).
- Hartmann M., Grabner E. W., Bergweld P.: Sens. Actuators, B B4, 333 (1991).
- McKinnon W. R., Haering J. W.: Mod. Aspects Electrochem. 15, 235 (1983); Chem. Abstr. 100, 54426v (1984).
- Engel D., Grabner E. W.: J. Phys. Chem. N. F. 160, 151 (1988).
- Matsue T., Nishizawa M., Sawaguchi T., Uchida I. J.: J. Chem. Soc., Chem. Commun. 123, 1029 (1991).
- Aoki A., Matsue T., Uchida I.: Anal. Chem. 62, 2206 (1990).
- Nishizawa M., Sawaguchi T., Matsue T., Uchida I.: Synth. Met. 45, 241 (1991).
- Nishizawa M., Shibuya M., Sawaguchi T., Matsue T., Uchida I.: J. Phys. Chem. 95, 9042 (1991).
- Hartmann M., Grabner E. W., Bergweld P.: Anal. Chim. Acta 242, 249 (1991).
- Hamman C., Kampfrath G., Mueller M.: Sens. Actuators, B B1, 142 (1990).
- Bolthauser T., Baltes H.: Sens. Actuators, A A26, 509 (1991).
- Endres H. R., Prost S.: Sens. Actuators, B B4, 95 (1991).
- Kolesar E. S. Jr, Wiseman J. M.: Anal. Chem. 61, 2355 (1989).
- Sheppard N. F., Day D. R., Lee H. L., Senturia S. D.: Sens. Actuators, B 2, 263 (1982).
- Lee H. S., Wang S. S., Smolenski D. J., Viola M. B., Klusendorf E. E.: Sens. Actuators, B 20, 49 (1994).
- Zaretsky M. C., Melcher J. R., Cooke C. M.: IEEE Trans. Electr. Insul. 24, 1167 (1989); Chem. Abstr. 112, 160959d (1990).
- Zhou G., Kowal S. T., Srinivasan M. P.: IEEE Trans. Compon. Hybrids. Manuf. Technol. 11, 184 (1988); Chem. Abstr. 109, 103048 (1988).
- Foulds N. C., Lowe C. R.: J. Chem. Soc. Faraday Trans. 1 82, 1259 (1986).
- Umaña M., Waller J.: Anal. Chem. 58, 2979 (1986).
- Matsue T., Kasai N., Narumi M., Nishizawa M., Yamada H.: J. Electroanal. Chem. Interfacial. Electrochem. 300, 111 (1991).
- Matsue T.: Trends Anal. Chem. 12, 100 (1993).
- Nishizawa M., Osawa M., Matsue T., Uchida I.: Denki Kagaku 60, 1195 (1992).
- Nishizawa M., Matsue T., Uchida I.: Anal. Chem. 64, 2642 (1992).
- Valdes J. J., Wall J. G. Jr., Chambers J. P., Eldefrawi M. E.: John's Hopkins Apl. Tech. Dig. 9, 4 (1988); Chem. Abstr. 109, 166556e (1988).
- Taylor R. F., Marenchic I. G., Cook E. J.: Anal. Chim. Acta 213, 131 (1988).
- Thompson M., Krull U. J.: Anal. Chem. 63, 393A (1991).
- Wang J.: Anal. Chem. 63, 235 R (1991).
- Janata J.: Anal. Chem. 62, 33 R (1990).
- Wollenberger U., Paeschke M., Hintsche R.: Analyst 119, 1245 (1994).
- Watson L. D., Maynard P., Cullen D. C., Sethi R. S., Brettle J., Love C. R.: Biosensors 3, 101 (1988).
- Cullen D. C., Sethi R. S., Lowe C. R.: Anal. Chim. Acta 231, 33 (1990).

52. Fouke J. M., Wolin A. D., Saunders K. G., Neuman M. R., McFadden E. R.: IEEE Trans. Biomed. Eng. 35, 877 (1988); Chem. Abstr. 108, 107777 (1988).
53. Zaretsky M. C., Mouyad L., Melcher J. R.: IEEE Trans. Electr. Insul. 23, 897 (1988); Chem. Abstr. 110, 134312 (1989).
54. Zaretsky M. C., Li P., Melcher J. R.: IEEE Trans. Electr. Insul. 24, 1159 (1989); Chem. Abstr. 110, 164381 (1989).
55. Sheppard N. F., Tucker R. C., Wu C.: Anal. Chem. 65, 1199 (1993).
56. Chidsey C. E., Murray R. W.: J. Phys. Chem. 90, 1479 (1986).
57. Roston D. A., Kissinger P. T.: Anal. Chem. 54, 429 (1982).
58. Rajan K. P., Neff V. D.: J. Phys. Chem. 86, 4361 (1982).
59. Mayer G. S., Shoup R. E.: J. Chromatogr. 255, 533 (1983).
60. Bond A. M., Fleischmann M., Rolison J.: J. Electroanal. Chem. 168, 1075 (1984).
61. Siperko L. M., Kuwana T.: J. Electrochem. Soc. 130, 396 (1983).
62. Aoki K.: Electroanalysis (N.Y.) 2, 229 (1990).
63. Feldman B. J., Murray R. W.: Inorg. Chem. 26, 1702 (1987).
64. Feldman B. J., Murray R. W.: Anal. Chem. 58, 2844, (1986).
65. Pickup P. G., Kutner W., Leidner C. R., Murray R. W.: J. Am. Chem. Soc. 106, 1981 (1984).
66. Facci J. S., Shmel R. M., Murray R. W.: J. Am. Chem. Soc. 104, 4959 (1982).
67. Pickup P. G., Murray R. W.: J. Am. Chem. Soc. 105, 4510 (1983).
68. Jernigan J. C., Chidsey C. E., Murray R. W.: J. Am. Chem. Soc. 107, 2826 (1985).
69. Viehbeck A., DeBerry D. W.: J. Electrochem. Soc. 132, 1369 (1985).

**P. Tomčík<sup>a</sup>, D. Bustin<sup>a</sup>, and I. Novotný<sup>b</sup>** (<sup>a</sup>Department of Analytical Chemistry, Faculty of Chemical Technology, Slovak Technical University, Bratislava, Slovak Republic, <sup>b</sup>Department of Microelectronics, Faculty of Chemical Engineering, Slovak Technical University, Bratislava, Slovak Republic): **Microelectrode Arrays with Interacting Diffusion Layers: Surface Modification**

The review deals with some potentials of chemical modification of interdigitated array microelectrodes with various polymer films; their conductometric and enzyme applications are briefly reviewed. The modification can be performed potentiostatically from a modifier solution until both individually addressable segments are interconnected. The conductivity of polymer immobilized on the electrode surface is influenced by the presence of specific compounds. Electropolymerization of polypyrrole also allows immobilization of enzymes directly in the polymer structure. Conductometric enzyme biosensors can detect products of enzyme reactions due to increasing conductivity of solutions. The method is a powerful tool in analysis of species which play an important role in biochemical processes.